

за Запольского и Солпитера [629] следует, что максимальное значение радиуса белого карлика для холодных углеродных звезд составляет $R_{\max} = 3,9 \cdot 10^{-2} R_{\odot}$ при $M = 2,2 \cdot 10^{-3} M_{\odot}$.

3.6. СРАВНЕНИЕ С НАБЛЮДЕНИЯМИ: МАССЫ И РАДИУСЫ

Как мы увидим в гл. 4, время охлаждения белого карлика достаточно велико, так что множество вырожденных карликов остаются видимыми в течение значительного времени благодаря излучению с их поверхности. Это удачное для нас обстоятельство позволяет в «нулевом приближении» проверить теорию белых карликов, изучая их расположение на диаграмме Герцшпрунга—Рессела (Г—Р). Г—Р-диаграмма представляет собой зависимость логарифма светимости L от логарифма эффективной температуры T_e , которая определяется равенством

$$L = 4\pi R^2 \sigma T_e^4, \quad (3.6.1)$$

где σ — постоянная Стефана—Больцмана¹⁾. Белые карлики с определенным значением массы (порядка $1 M_{\odot}$) имеют определенный радиус (около 10^9 см), и, следовательно, согласно равенству (3.6.1), они занимают определенную *линию* на Г—Р-диаграмме: $L \sim T_e^4$. Поскольку, как мы считаем, массы карликов составляют около $1 M_{\odot}$, они должны занимать узкую полосу на Г—Р-диаграмме заметно левее и ниже главной последовательности нулевого возраста. Сравнение теоретических оценок с наблюдениями свидетельствует об удовлетворительном согласии (рис. 3.3).

Лучший способ определения радиуса белых карликов состоит в подгонке параметров модели их атмосферы по наблюдаемому остаточному излучению. Поток F_{ν} , эрг/(с · см² · Гц), измеряемый на Земле, равен

$$F_{\nu} = \frac{R^2 F_{\nu}(\text{на поверхности})}{D^2}, \quad (3.6.2)$$

где R — радиус белого карлика, а D — расстояние до Земли. Величина D для близлежащих белых карликов определяется по измерению их параллакса. Далее строится модель атмосферы белого карлика, зависящая от эффективной температуры и поверхностной силы тяжести, таким образом, чтобы воспроизвести наблюдаемый поток на различных длинах волн. Отсюда определяется значение R . Обширная сводка данных по этому вопросу с типичной неопределенностью 5—10% представлена Шипманом [536].

Найти массу белого карлика гораздо труднее, так как для этого нужно, чтобы звезда входила в двойную или тройную систему, что позволяет определить массу по ее динамике. В настоящее время известны три белых карлика, для которых как масса, так и радиус известны с довольно хоро-

¹⁾ См. приложение А, где Г—Р-диаграмма обсуждается более подробно.

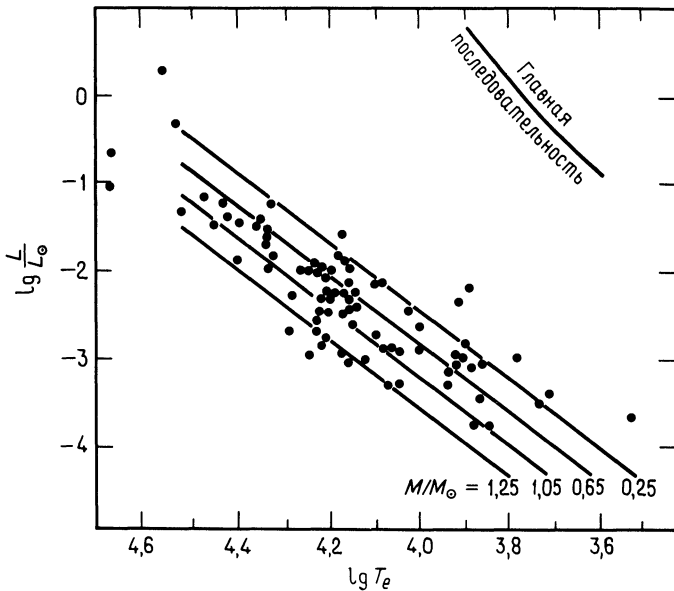


Рис. 3.3. Положения белых карликов, расстояния до которых известны, на диаграмме Герцшпрунга — Рассела. Наклонные линии отвечают постоянному значению радиуса; приписанное им значение массы получено из уравнения состояния Чандрасекара при $\mu_e = 2$. (Данные собраны Суини [554].)

шей точностью. Они перечислены в табл. 3.2 и указаны на графиках зависимости M от R (рис. 3.1), полученных Хамадой и Солпитером. Для Прокциона В, который обычно изображают на таких диаграммах, неопределенности в значениях M и R заметно больше.

Весьма обнадеживающим является то обстоятельство, что все три белых карлика с наиболее хорошо известными значениями M и R лежат точно на кривых Хамады—Солпитера. Действительно, наблюдения свидетельствуют в пользу предположения, что Сириус В и 40 Эрида В вовсе не состоят из одного чистого железа. Поскольку интервал ошибок отвечает одному стандартному отклонению (1σ), наблюдения не противоречат утверждению, что белые карлики состоят из углерода и кислорода, как и получается на основании современных расчетов эволюции их предшественников.

Еще одна проверка соотношения между массами и радиусами белых карликов может быть выполнена посредством измерения эйнштейновского гравитационного красного смещения¹⁾:

$$\frac{\Delta\lambda}{\lambda} \approx \frac{GM}{Rc^2}. \quad (3.6.3)$$

¹⁾ Мы выведем эту формулу в разд. 5.3.

Таблица 3.2

ЗНАЧЕНИЯ МАСС И РАДИУСОВ БЕЛЫХ КАРЛИКОВ,
ПОЛУЧЕННЫЕ НА ОСНОВАНИИ ОПТИЧЕСКИХ НАБЛЮДЕНИЙ

	Масса ¹⁾ , M_{\odot}	Радиус ²⁾ , R_{\odot}	Красное смещение ³⁾ , км/с
Сириус В	$1,053 \pm 0,028$	$0,0074 \pm 0,0006$	$89 \pm 1,6$
40 Эридана В	$0,48 \pm 0,02$	$0,0124 \pm 0,0005$	$23,9 \pm 1,3$
Stein 2051	$0,50 \pm 0,05$	$0,0115 \pm 0,0012$?
	или		
	$0,72 \pm 0,08$		

¹⁾ Масса Сириуса — по [217]; 40 Эридана В — по [270] (см., однако, [603]); Stein 2051 — по [552].

²⁾ Радиусы — по [536].

³⁾ Красное смещение Сириуса В — по [244]; 40 Эридана В — по [603].

Наблюдаемое гравитационное красное смещение обычно выражают как эквивалентное доплеровское смещение $\Delta\lambda/\lambda = v/c$, т.е.

$$v = 0,6362 \frac{M/M_{\odot}}{R/R_{\odot}} \text{ км/с} \quad (3.6.4)$$

Это дает 91 ± 8 км/с для Сириуса В и $22 \pm 1,4$ км/с для 40 Эридана В в прекрасном согласии с наблюдениями.

Упражнение 3.8. В литературе приведены следующие данные о красных смещениях: Ван Маанен 2: 14 ± 18 км/с [273] и 33 ± 16 км/с [218]; EG 64: 131 км/с; EG 113: 52 км/с; последние два результата получены Гринстейном и Тримбл [243], которые отмечают, что ошибки приведенных значений могут быть велики. Согласно Шипману [536], радиусы этих звезд равны соответственно $0,0138 R_{\odot}$, $0,0182 R_{\odot}$ и $0,0094 R_{\odot}$. Согласуются ли эти значения с соотношением масса—радиус Хамады и Солпитера?

3.7. ПИКНОЯДЕРНЫЕ РЕАКЦИИ

В плотном веществе ядерные реакции могут идти даже при нулевой температуре. Эти реакции происходят в силу того, что нулевые колебания ионов с энергией $E_0 \sim \hbar\omega_0$ около узла решетки позволяют им преодолевать кулоновский барьер соседних ионов. В этом разделе мы грубо приближенно